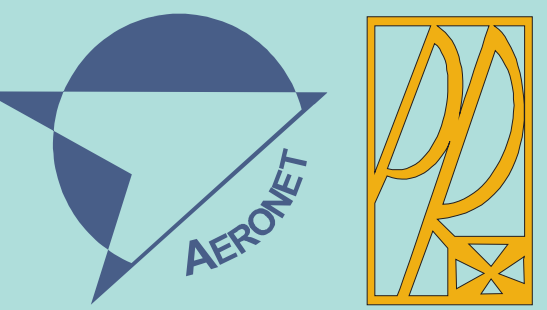


Nowoczesne technologie materiałowe stosowane w przemyśle lotniczym

Modern material technologies in aerospace industry



INNOWACYJNA
GOSPODARKA
NARODOWA STRATEGIA SPÓŁNOŚCI



UNIA EUROPEJSKA
EUROPEJSKI FUNDUSZ
ROZWOJU REGIONALNEGO



KONFERENCJA
RADY PARTNERÓW CZT AERONET
i KONFERENCJA ROCZNA
8 - 9 Grudnia 2014

ZB 12

Odlewanie precyzyjne stopów Ni na krytyczne części silników lotniczych

Precision casting of Ni alloys on critical parts of aircraft engines

Politechnika Śląska, Politechnika Warszawska, Politechnika Rzeszowska

Wyniki badań Results

Analiza przyczyn powstawania wad odlewniczych w łopatkach turbin niskiego ciśnienia silników lotniczych odlanych precyzyjnie z nadstopów niklu MAR M 247, IN 100 i IN 713C

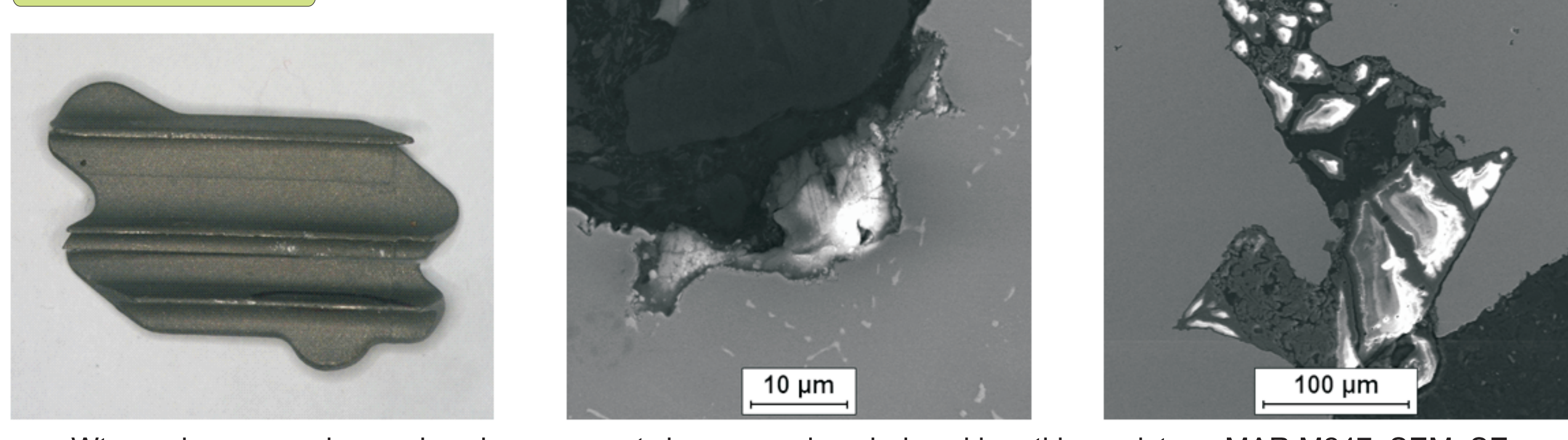
Analysis of the causes of casting defects formation in low pressure turbine blades of air engines investment cast from MAR M 247, IN 100 and IN 713C nickel-based superalloys

Skład chemiczny nadstopów niklu MAR M247, IN100 i IN713C (w % wag.)

Chemical composition of MAR M247, IN100 and IN713C nickel-based superalloys (weight %)

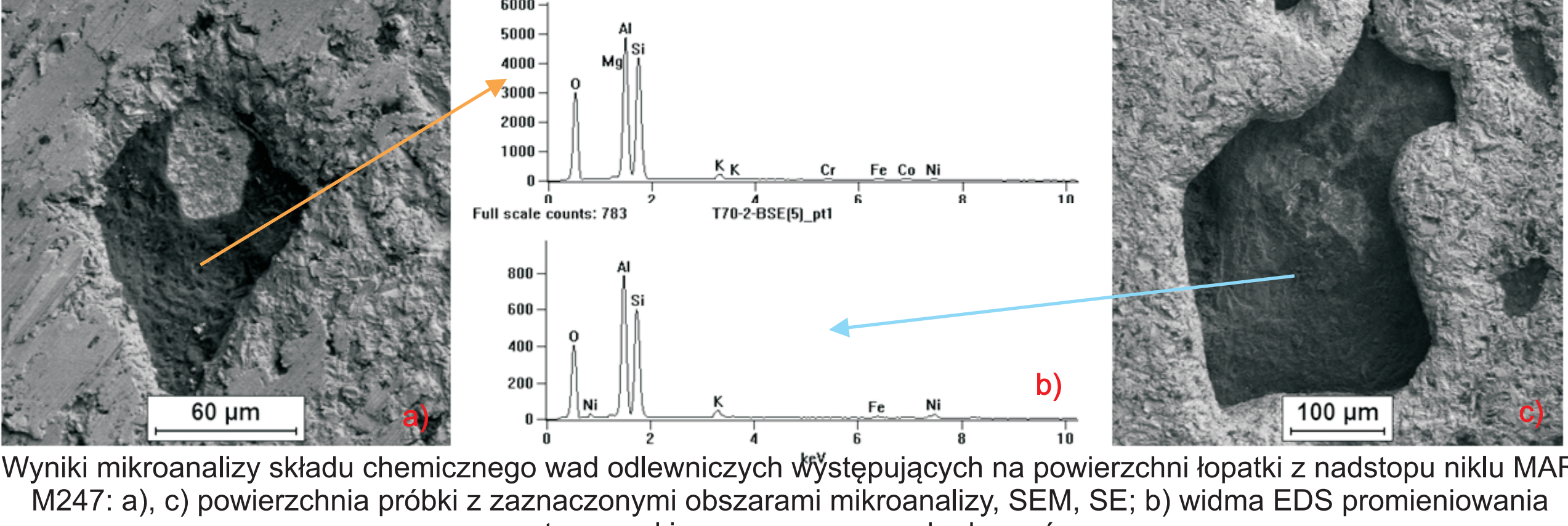
Stop	Stężenie pierwiastków stopowych (w % masowych)										
	C	Cr	Co	Mo	W	Ta	Ti	Al	Zr	B	Inne
MAR M247	0,16	8,2	10	0,6	10	3	1	5,5	0,05	0,015	1,5 Hf
IN 100	0,16	10	15	3	-	-	4,75	5,5	0,05	0,015	0,8 V
IN 713C	0,10	13,5	-	-	-	-	0,8	6,0	0,06	0,010	2,0 Nb

MAR M247



Wtrącenia egzogeniczne ujawnione w warstwie przypowierzchniowej łopatki z nadstopu MAR 247, SEM, SE

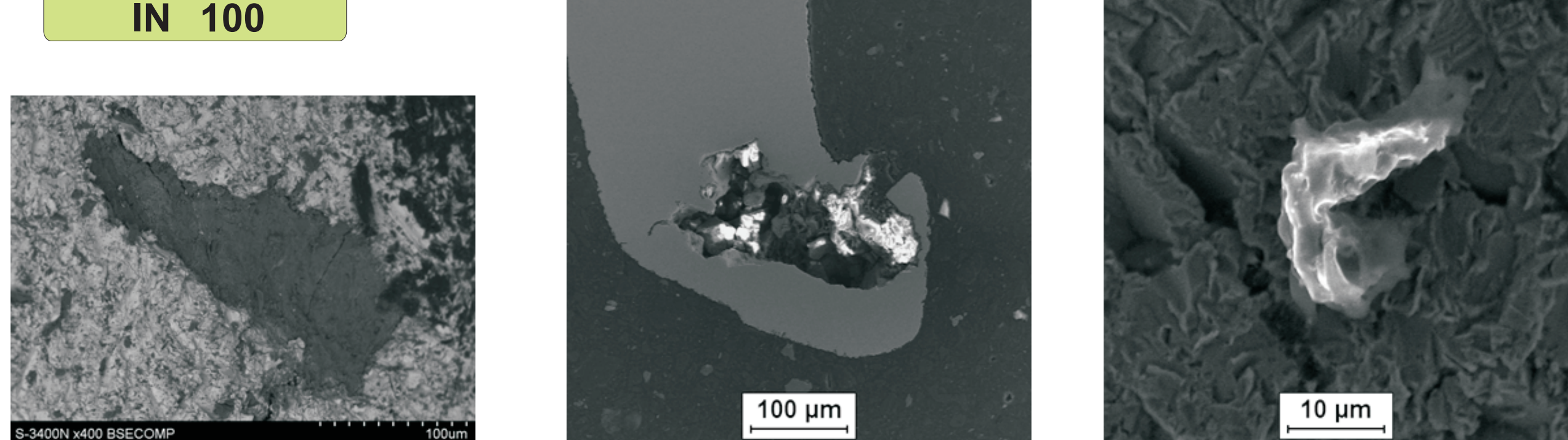
Exogenous inclusions revealed on near-surface zone of the blade from MAR 247, SEM, SE



Wyniki mikroanalizy składu chemicznego wad odlewniczych występujących na powierzchni łopatki z nadstopu niklu MAR M247: a), c) powierzchnia próbki z zaznaczonymi obszarami mikroanalizy, SEM, SE; b) widma EDS promieniowania rentgenowskiego z zaznaczonymi obszarami

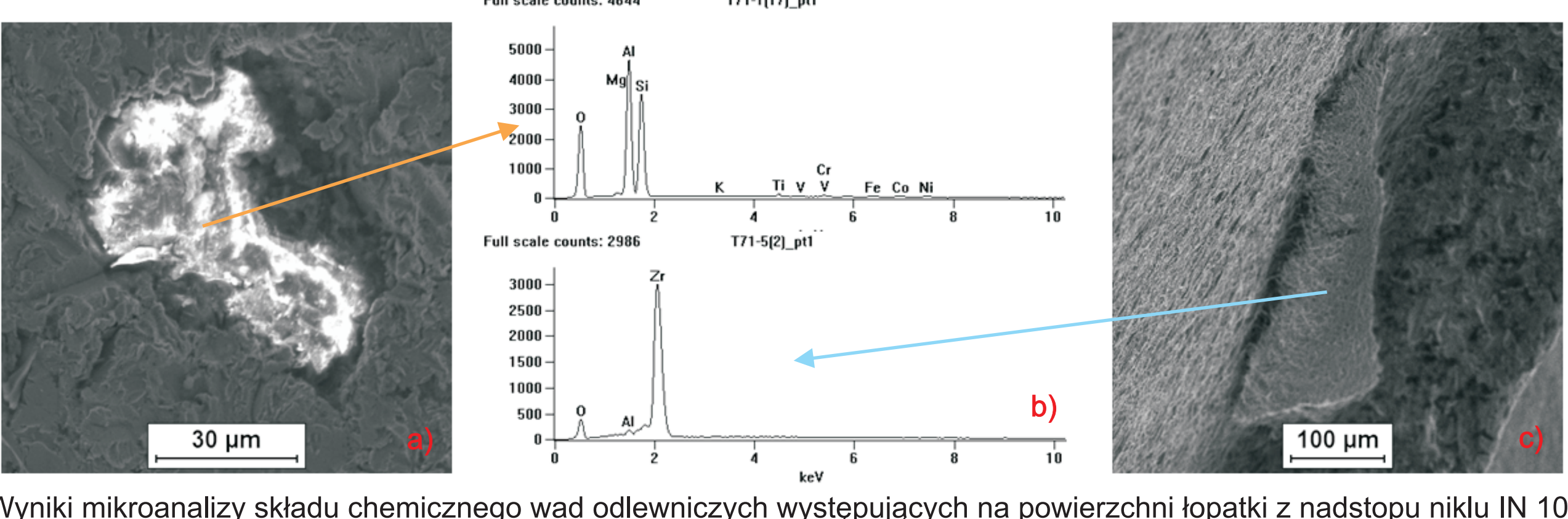
The results of microanalysis of chemical composition of casting defects formed on the surface of the blade from MAR M247: a), c) the surface of the sample with marked microanalysis areas, SEM, SE; b) EDS spectrum of X-rays from the marked areas

IN 100



Wtrącenia egzogeniczne ujawnione w warstwie przypowierzchniowej łopatki z nadstopu IN 100, SEM, SE

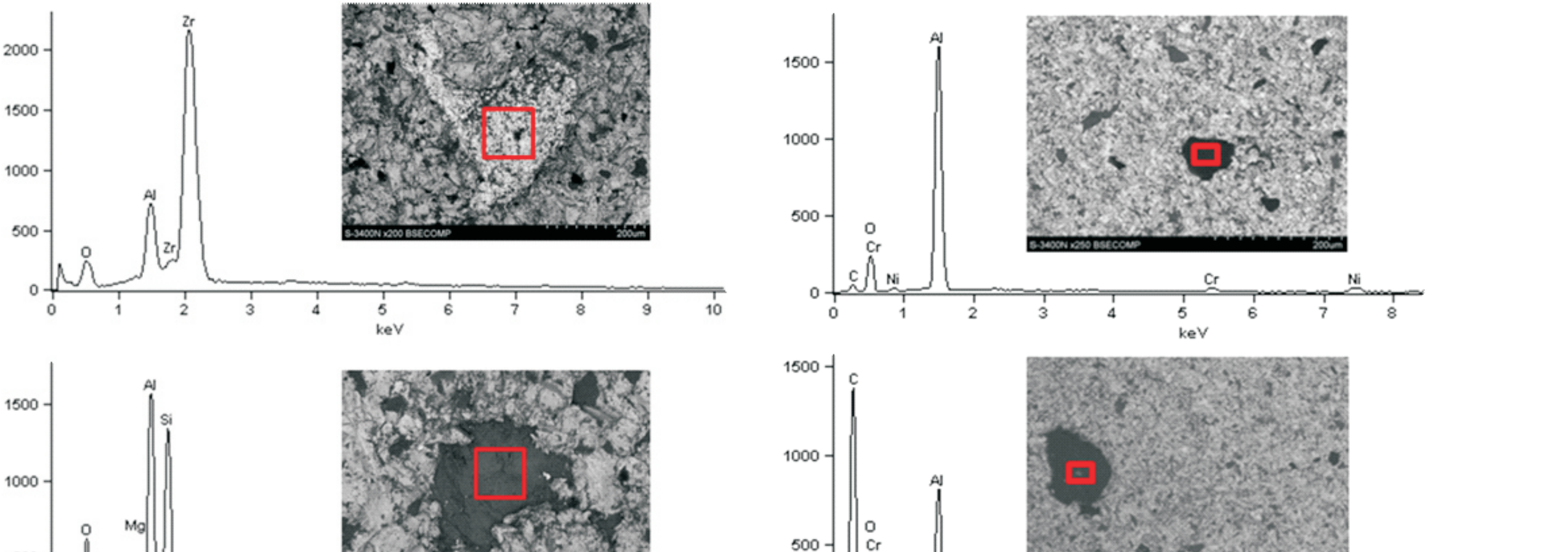
Exogenous inclusions revealed on near-surface zone of the blade from IN 100 nickel-based superalloy, SEM, SE



Wyniki mikroanalizy składu chemicznego wad odlewniczych występujących na powierzchni łopatki z nadstopu niklu IN 100: a), c) powierzchnia próbki z zaznaczonymi obszarami mikroanalizy, SEM, SE; b) widma EDS promieniowania rentgenowskiego z zaznaczonymi obszarami

The results of microanalysis of chemical composition of casting defects formed on the surface of the blade from IN 100 nickel-based superalloy: a), c) the surface of the sample with marked microanalysis areas, SEM, SE; b) EDS spectrum of X-rays from the marked areas

IN 713C



Wyniki mikroanalizy składu chemicznego wad odlewniczych występujących na powierzchni łopatki z nadstopu niklu IN 713C, widma EDS promieniowania rentgenowskiego z zaznaczonymi obszarami

The results of microanalysis of chemical composition of casting defects formed on the surface of the blade from IN 713C nickel-based superalloy, EDS spectrum of X-rays from the marked areas

Wnioski Conclusions

W łopatkach z nadstopów MAR M247 i IN 100 występowały wtrącenia Al₂O₃ i SiO₂. Przyczynami powstania tego typu wtrąceń są: erozja formy ceramicznej oraz rozkład modyfikatora. Ponadto w łopatkach z nadstopu IN100 występowały wtrącenia niemetaliczne zawierające Zr i Mg, których źródłem pochodzenia jest erozja materiału tygla (ZrO₂, stabilizowany MgO).

W łopatkach z nadstopu IN713C stwierdzono obecność następujących wtrąceń niemetalicznych (w nawiasach podano źródła ich pochodzenia):

- krzemiony cyrkonu ZrSiO₄ (erozja materiału formy ceramicznej przez ciekły stop),
- tlenek aluminium Al₂O₃ (materiał ścieżny oraz produkt rozkładu modyfikatora - gliniutu kobaltu),
- tlenek krzemiu SiO₂ (spoiwo, forma ceramicznej),
- tlenek cyrkonu ZrO₂ (składnik tygla),
- żelazo i jego tlenki (składnik misylewowej).

The Al₂O₃ and SiO₂ inclusions occurred in the blades from MAR M247 and IN 100 nickel-based superalloys. The causes of these kinds of inclusions formation were the following: erosion of ceramic mould and decomposition of inoculant. Moreover, non-metallic inclusions with Zr and Mg occurred in the blades from IN 100 nickel-based superalloy. The source of these inclusions was erosion of crucible material (ZrO₂, stabilized with MgO).

In the blades from IN713C nickel-based superalloy the following non-metallic inclusions were observed (between parentheses the sources were presented):

- Al₂O₃ zirconium silicate (erosion of ceramic mould material caused by liquid alloy),
- SiO₂ silicon oxide (binder of ceramic mould),
- ZrO₂ zirconium oxide (component of the crucible),
- iron and its oxides (component of the bowl sprue).

Wyniki badań Results

Analiza wpływu czynników strukturalnych na odporność na pełzanie nadstopu IN 713C na podstawie badań odlanych precyzyjnie próbek ze stopu wsadowego

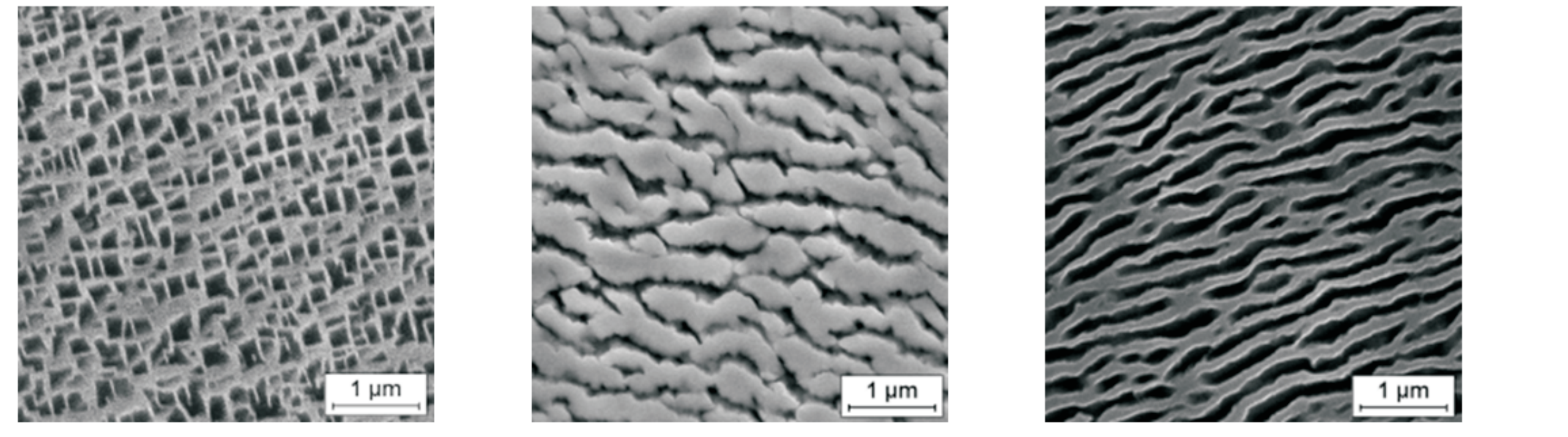
Analysis of impact of structural factors on creep resistance of IN713C nickel-based superalloy on the basis of investigations of the samples investment cast from the master heat

Wyniki testu odporności na pełzanie wybranych do badań próbek z nadstopu IN 713C

Results of creep resistance of samples from IN 713C superalloy

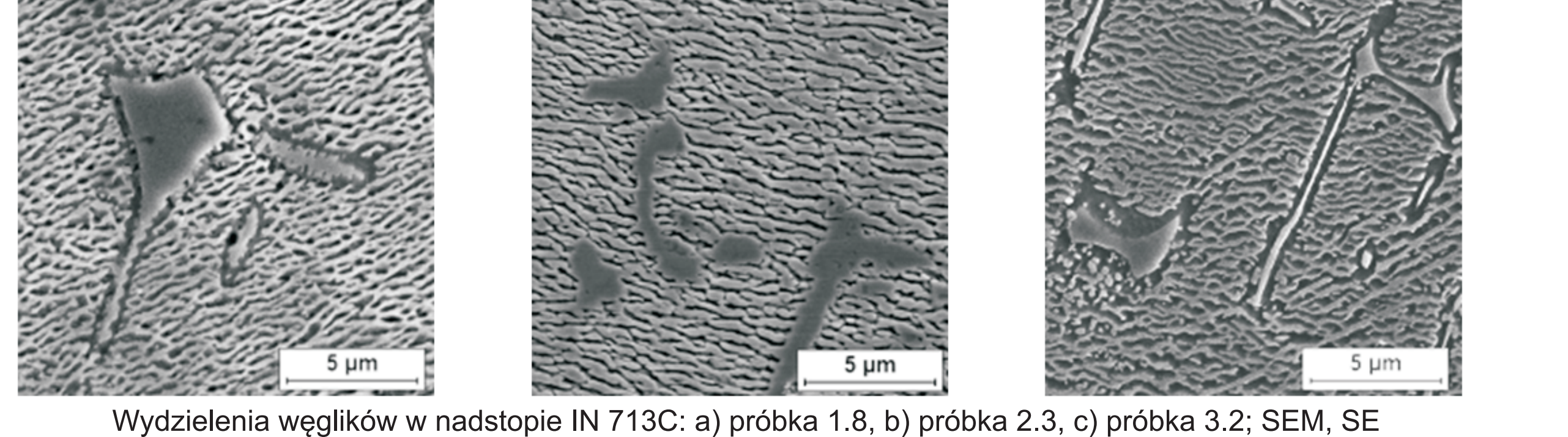
Nr próbki Czas do zerwania [h] Odkształcenie początkowe ϵ_0 [%] Odkształcenie całkowite ϵ [%] Szybkość pełzania [1/s]

Nr próbki	Czas do zerwania [h]	Odkształcenie początkowe ϵ_0 [%]	Odkształcenie całkowite ϵ [%]	Szybkość pełzania [1/s]
1.8	42,7	0,51	4,80	$1,09 \cdot 10^{-7}$
2.3	41,7	0,55	4,21	$9,97 \cdot 10^{-8}$
3.2	37,4	0,50	2,85	$1,20 \cdot 10^{-7}$
3.4	32,0	0,50	3,09	$1,41 \cdot 10^{-7}$



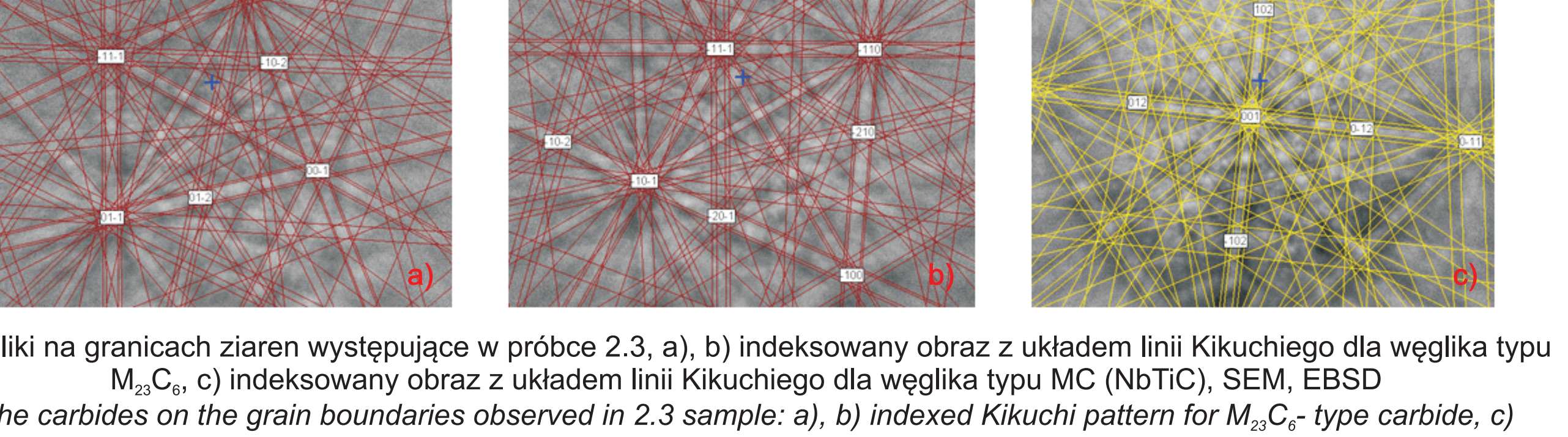
Wydzielenia fazy γ' w osnowie z nadstopu IN 713C: a) stan wyjściowy, b) próbka 3.2, c) próbka 3.4; SEM, SE

Precipitations of γ' phase in the γ matrix in IN 713C nickel-base superalloy: a) initial state, b) 3.2 sample, c) 3.4 sample; SEM, SE



Wydzielenia węglików w nadstopie IN 713C: a) próbka 1.8, b) próbka 2.3, c) próbka 3.2; SEM, SE

Precipitations of carbides in IN 713C nickel-base superalloy: a) 1.8 sample, b) 2.3 sample, c) 3.2 sample; SEM, SE

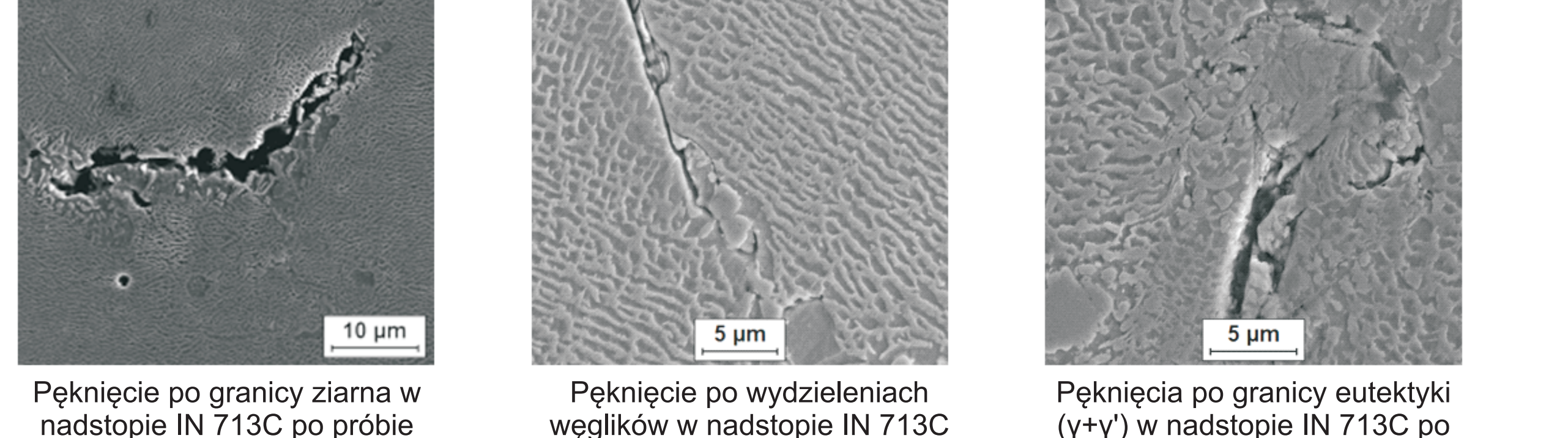


Węgliki na granicach ziaren występujące w próbce 2.3, a), b) indeksowany obraz z układem linii Kikuchiego dla węglika typu M_2C_6 , c) indeksowany obraz z układem linii Kikuchiego dla węglika typu MC (NbTiC). SEM, EBSD

The carbides on the grain boundaries observed in 2.3 sample: a), b) indexed Kikuchi pattern for M_2C_6 type carbide, c) indexed Kikuchi pattern for MC - type carbide (NbTiC). SEM, EBSD

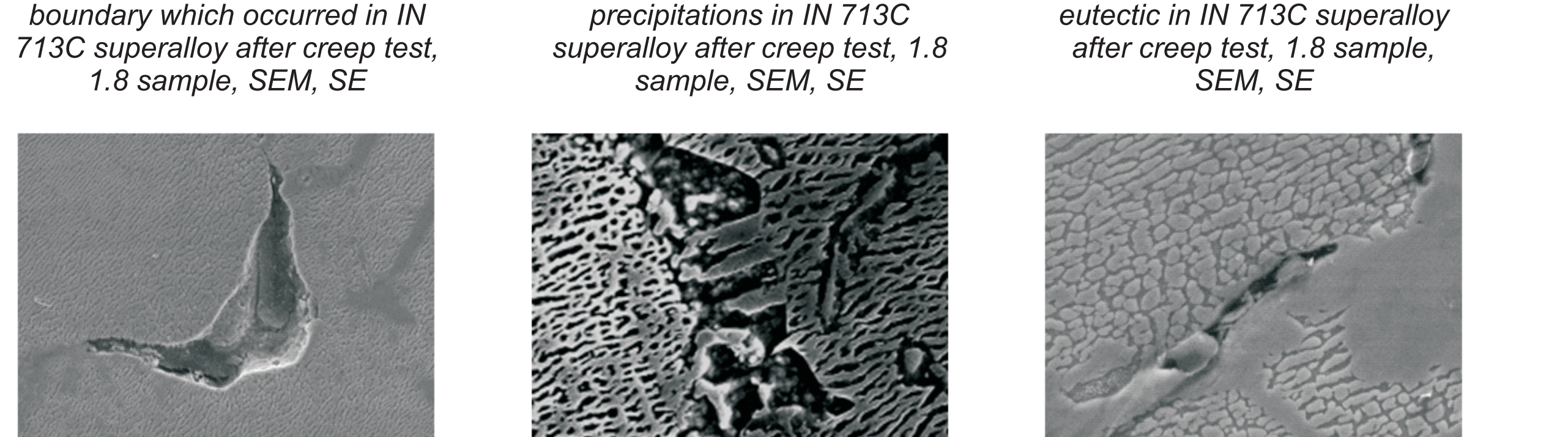
Analiza pęknięć i innych zjawisk w mikrostrukturze IN 713C będących efektem oddziaływania naprężeń i temperatury podczas próby odporności na pełzanie

Analysis of cracks and other effects in the microstructure of IN 713C superalloy which occurred as a result of stresses and temperature during creep test



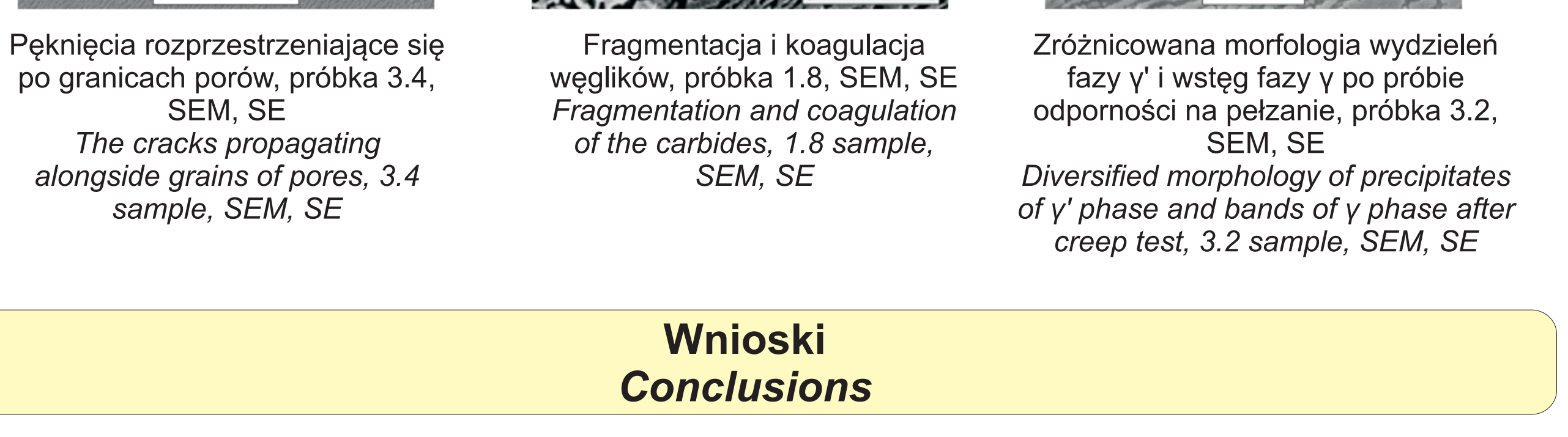
Pęknięcie po granicy ziarna w nadstopie IN 713C po próbce odporności na pełzanie, próbka 1.8, SEM, SE

The crack elongation along the grain boundary which occurred in IN 713C superalloy after creep test, 1.8 sample, SEM, SE



Pęknięcie po granicy ziarna w nadstopie IN 713C po próbce odporności na pełzanie, próbka 1.8, SEM, SE

The crack elongation alongside the carbide precipitations in IN 713C superalloy after creep test, 1.8 sample, SEM, SE



Zróżnicowana morfologia wydzieleni fazy γ' i wstęgi fazy γ po próbce odporności na pełzanie, próbka 3.2, SEM, SE

Diversified morphology of precipitates of γ' phase and bands of γ phase after creep test, 3.2 sample, SEM, SE

Wnioski Conclusions

Na podstawie badań mikrostruktury wykazano:

- wpływ porowatości, eutektiku ($\gamma+\gamma'$), dużych wydzielienni węglików pierwotnych, wydzielienni węglików na granicach ziaren oraz wydzielienni faz międzymetalicznych zawierających nikiel i cyrkon na odporność na pełzanie nadstopu niklu IN713C,
- występowanie raftingu wydzielienni fazy γ' obniżającego odporność na pełzanie,
- występowanie pełzania dyslokacyjnego oraz obecności siatek dyslokacyjnych na węglikach, na granicach międzymetalicznych osnowa/wydzielenie fazy γ' oraz węglików, a także wewnętrzny wydzielenie fazy γ' wewnątrz węglów fazy γ ,
- zachodzący podczas próby odporności na pełzanie nadstopu IN713C przemiany MC + γ \rightarrow M_2C_6 + γ' w wyniku której powstają drobne węgliki wtórne M_2C_6 .

Stwierdzono, że główną przyczyną zróżnicowania czasu do zerwania i odkształcenia całkowitego badanych próbek w próbce odporności na pełzanie była ich zróżnicowana makro i mikrostruktura związana z niepowtarzalnymi warunkami krystalizacji poszczególnych zestawów odlewów.

On the basis of the microstructure investigations the following results were shown:

- Influence of porosity, ($\gamma+\gamma'$) eutectic, great precipitates of primary carbides, precipitates of carbides alongside the grain boundaries and precipitates of intermetallic phases containing nickel and zirconium on creep resistance of IN713C superalloy,
- occurring of γ' phase rafting which reduced creep resistance,
- occurring of dislocation creep and dislocation networks in carbides, alongside matrix/precipitate of γ' phase and γ /carbide boundaries as well as irregular precipitates of γ' phase and bands of γ phase,
- the results of MC + γ \rightarrow M_2C_6 + γ' transformation in IN713C proceeding during creep test.

The main reason of diversification of time to rupture and total strain of the investigated samples during creep test was diversified macro- and microstructure resulting from unpredictable conditions of solidification in individual mould assemblies.

Wnioski Conclusions

Wyniki badań Results

Nowe formy ceramiczne na osnowie SiC do odlewania nadstopów niklu
New ceramic shell molds of SiC